

УДК 539.3

Баженов В.А., д-р техн. наук,
Гуляр О.І., д-р техн. наук,
Пискунов С.О. канд. техн. наук,
Солодей І.І., канд. техн. наук,
Шевченко Ю.В., аспірант

РОЗРАХУНКОВІ СПІВВІДНОШЕННЯ НМСЕ ПРОСТОРОВОЇ ЗАДАЧІ ДИНАМІКИ ДЛЯ НЕОДНОРІДНИХ ТІЛ ОБЕРТАННЯ З ДОВІЛЬНИМИ ГРАНИЧНИМИ УМОВАМИ

Отримані розрахункові співвідношення НМСЕ для розв'язання просторових задач динаміки неоднорідних незамкнутих тіл обертання з довільними граничними умовами, які забезпечують високу ефективність підходу при використанні косокутних скінченних елементів для побудови дискретних моделей об'єктів складної конфігурації меридіального перетину.

Вступ. В роботі [9] викладено методикау визначення динамічних характеристик і моделювання вимушених нестационарних коливань неоднорідних замкнутих тіл обертання. В той же час в різних галузях техніки та будівництва знаходять широке застосування елементи конструкцій, які являють собою неоднорідні незамкнуті тіла обертання з довільними граничними умовами. В зв'язку з цим є актуальним узагальнення зазначеного вище підходу на даний клас об'єктів.

Метою даної роботи є отримання розрахункових співвідношень напіваналітичного методу скінченних елементів (НМСЕ) для розв'язання просторової задачі динаміки неоднорідних масивних, тонкостінних та комбінованих незамкнутих тіл обертання з довільними граничними умовами.

Постановка задачі. Розглядаються неоднорідні ізотропні незамкнені тіла обертання (рис. 1), що знаходяться під дією довільного імпульсного навантаження або зміщень, на інтервалі часу $T \in [t_0, t_1]$. Неоднорідність фізико-механічних властивостей реальних тіл може бути зумовлена різноманітними причинами: природною неоднорідністю, технологією виготовлення, впливом зовнішніх полів, наприклад температури чи радіаційного опромінення або навмисно організованою структурною неоднорідністю, яка властива практично всім композитам і тому подібне.

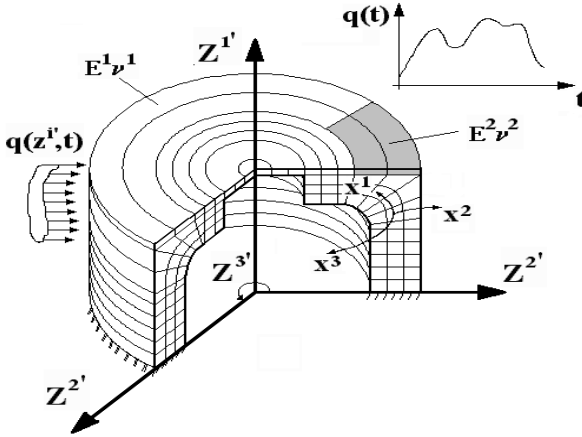


Рис. 1. Неоднорідне незамкнуте тіло обертання з довільними граничними умовами

Опис геометричних і механічних характеристик, початкових і граничних кінематичних умов, зовнішніх навантажень здійснюється в ортогональній круговій циліндричній системі координат $z^{i'}$, що в подальшому називається базисною. Для подання напружено-деформованого стану тіла із складною формою поперечного перетину запроваджується місцева криволінійна система координат x^i , яка пов'язана з геометрією тіла. Вважається, що в будь-якій точці тіла відомий однозначний зв'язок між базисною і місцевою системами координат, який визначається за допомогою прямого і зворотного тензорів перетворення координат:

$$z_{,j}^{i'} = \frac{\partial z^{i'}}{\partial x^j}, \quad x_{,j'}^i = \frac{\partial x^i}{\partial z^{j'}}. \quad (1)$$

В силу того, що z^3 і $z^{3'}$ співпадають, та ортогональні до площини поперечного перетину для циліндричної системи координат

$$z_{,\alpha}^{3'} = z_{,3}^{\alpha'} = 0. \quad (2)$$

Тут і надалі, індекси, що позначені латинськими літерами, приймають значення 1, 2, 3; а грецькими – 1, 2; кома перед індексом показує операцію диференціювання.

Відмінні від нуля компоненти метричного тензора, що визначають масштаби базисних векторів, в ортогональній циліндричній системі координат мають вигляд [2]:

$$g_{1'1'} = g_{2'2'} = 1, \quad g_{3'3'} = (z^{2'})^2; \quad (3)$$

Коваріантні компоненти метричного тензора в місцевій системі координат визначаються через відповідні компоненти в базисній:

$$g_{ij} = z_{,i}^{\alpha'} z_{,j}^{\alpha'} + z_{,i}^{3'} z_{,j}^{3'} g_{3'3'}. \quad (4)$$

Контраваріантні компоненти знаходяться по відомим коваріантним:

$$g^{ij} = \frac{A(g_{ij})}{g}, \quad (5)$$

де $A(g_{ij})$ - алгебраїчне доповнення до елемента g_{ij} матриці, що побудована по коваріантним компонентам метричного тензора; $g = \det|g_{ij}|$ - визначник цієї матриці.

Переміщення будь-якої точки тіла визначається компонентами в базисній системі координат $u_{i'}$. Компоненти тензору деформацій в місцевій системі координат виражаються через компоненти переміщень в базисній [1]:

$$\varepsilon_{ij} = \frac{1}{2} (u_{k',i} z_{,j}^{k'} + u_{k',j} z_{,i}^{k'} - 2u_{k'} z_{,i}^{l'} z_{,j}^{m'} \Gamma_{l'm'}^{k'}), \quad (6)$$

де

$$u_{k',i} = \frac{\partial u_{k'}}{\partial x^i}. \quad (7)$$

Символи Крістофеля другого роду $\Gamma_{l'm'}^{k'}$ в ортогональній циліндричній системі координат відмінні від нуля і мають наступний вигляд [2]:

$$\Gamma_{3'3'}^{2'} = -Z^{2'}, \quad \Gamma_{3'2'}^{3'} = \Gamma_{2'3'}^{3'} = \frac{1}{Z^{2'}}. \quad (8)$$

Враховуючи (8) співвідношення (7) приймають вигляд:

$$\varepsilon_{\alpha\beta} = \frac{1}{2} (z_{,\alpha}^{\gamma'} u_{\gamma',\beta} + z_{,\beta}^{\gamma'} u_{\gamma',\alpha}),$$

$$\varepsilon_{\alpha 3} = \frac{1}{2} \left(z_{,3}^3 u_{3',\alpha} + z_{,\alpha}^{\gamma'} u_{\gamma',3} - \frac{2z_{,\alpha}^2 z_{,3}^3 u_{3'}'}{Z^2} \right), \quad (9)$$

$$\varepsilon_{33} = z_{,3}^3 u_{3',3} + \left(z_{,3}^3 \right)^2 z^2 u_2',$$

Компоненти тензора напружень в місцевій системі координат виражаються через компоненти тензора деформацій на основі узагальненого закону Гука [2]:

$$\sigma^{ij} = d^{ijkl} \varepsilon_{kl}. \quad (10)$$

В ізотропному тілі компоненти тензора пружних сталей d^{ijkl} пов'язані з коефіцієнтами Ламе λ і μ співвідношеннями [2]:

$$d^{ijkl} = \lambda g^{ij} g^{kl} + \mu (g^{jl} g^{ik} + g^{il} g^{jk}), \quad (11)$$

де $\lambda = \frac{E\nu}{(1-2\nu)(1+\nu)}$; $\mu = \frac{E}{2(1+\nu)}$; $E = E(z^{i'})$, $\nu = \nu(z^{i'})$ - значення модуля пружності і коефіцієнта Пуассона в точці тіла, що розглядається.

Фізичні компоненти тензорів деформацій $\tilde{\varepsilon}_{kl}$, напружень $\tilde{\sigma}^{ij}$ та пружних констант \tilde{d}^{ijkl} визначаються співвідношеннями:

$$\begin{aligned} \tilde{\varepsilon}_{kl} &= \frac{\varepsilon_{ij}}{\sqrt{g_{(ii)} g_{(jj)}}}, \\ \tilde{\sigma}^{ij} &= \sigma^{ij} \sqrt{g_{(ii)} g_{(jj)}}, \\ \tilde{d}^{ijkl} &= d^{ijkl} \sqrt{g_{(ii)} g_{(jj)} g_{(kk)} g_{(ll)}}. \end{aligned} \quad (12)$$

Рівновага неоднорідного ізотропного тіла об'ємом V при наявності інерційних сил, обмеженого поверхнею S , описується рівнянням, що є наслідком принципу Даламбера, покомпонентна форма якого в криволінійній системі координат приймає вигляд [2]:

$$\frac{1}{\sqrt{g}} \frac{\partial}{\partial x^i} \left(\sqrt{g} z_{,k}^{j'} \sigma^{ki} \right) + f^{j'} = \rho \ddot{u}^{j'}. \quad (13)$$

Однозначність розв'язання (13) забезпечується запровадженням відповідних початкових і граничних умов.

Початкові умови становить відомий розподіл переміщень та швидкостей в тілі у деякий фіксований момент часу t_0 , який приймається за початок часової координати:

$$u(z^{i'}, t_0) = u_0(z^{i'}), \quad \dot{u}(z^{i'}, t_0) = \dot{u}_0(z^{i'}), \quad z^{i'} \in V. \quad (14)$$

При цьому припускається, що на частині поверхні S_u задані кінематичні граничні умови:

$$u(z^{i'}, t) = \tilde{u}(z^{i'}, t), \quad z^{i'} \in S_u, \quad (15)$$

а на поверхні S_p з нормаллю $\vec{n} = n_j e^j$ - довільно орієнтована у просторі та у часі система навантажень:

$$z_{,i}^{k'} \sigma^{ij} n_j = \tilde{p}(z^{k'}, t), \quad z^{k'} \in S_p. \quad (16)$$

В кожний момент часу пружно-деформований стан згаданого тіла повинен задовольняти варіаційному рівнянню руху яке згідно принципам Лагранжа-Даламбера подамо у вигляді:

$$\int_V \rho u^{i'} \delta u_{i'} dV + \int_V \sigma^{ij} \delta \varepsilon_{ij} dV - \int_V f^{i'} \delta u_{i'} dV - \int_{S_p} p^{i'} \delta u_{i'} dS = 0, \quad (17)$$

де $\tilde{\sigma}^{ij}$, $\tilde{\varepsilon}_{ij}$ - фізичні компоненти тензорів напружень і деформацій відповідно.

Неоднорідний круговий скінченний елемент з довільними граничними умовами на торцях. Скінченні елементи, що пропонується, орієнтовані на розрахунок широкого класу неоднорідних тіл обертання. Вони повинні забезпечувати не тільки високу точність подання напружено-деформованого стану конструкцій складної форми, але і високу швидкість збіжності результатів до точного рішення. Як показано в роботах [1,3,4,6,7], застосування моментної схеми скінченних елементів (МССЕ) [8] дозволяє істотно підвищити ефективність чисельного дослідження просторових конструкцій на основі МСЕ. Окрім того, МССЕ забезпечує відсутність деформацій при зміщенні тіла як жорсткого цілого, а також усуває явище "хибного зсуву", що виникає при розрахунку тонкостінних конструкцій за допомогою просторових СЕ.

Для дискретизації неоднорідних просторових тіл при динамічному навантаженні застосовуються кругові незамкнені скінченні елементи (СЕ) (рис.2). В місцевій системі координат їх переріз є квадратом з одиничними сторонами. Початок місцевої системи координат x^i

знаходиться у геометричному центрі елемента, вісі x^1 і x^2 направлені паралельно сторонам поперечного перерізу, а x^3 суміщена із $z^{3'}$.

Припускається, що щільність матеріалу ρ , компоненти тензора пружних постійних d^{ijkl} і визначник метричного тензора g незначно змінюються в області поперечного перерізу елемента і вважаються рівними відповідним значенням в його центрі:

$$\rho = \rho|_{x^\alpha=0}, \quad d^{ijkl} = d^{ijkl}|_{x^\alpha=0}, \quad \sqrt{g} = \sqrt{g}|_{x^\alpha=0}. \quad (18)$$

В той же час ρ і d^{ijkl} довільно змінюються вздовж осі x^3 і обчислюються в необхідній кількості точок інтегрування

За невідомі при розв'язанні задачі приймаються компоненти переміщень, швидкостей та прискорень вузлів СЕ в базисній системі координат $(u; \dot{u}; \ddot{u})_{k'}$, де k' - напрямок в базисній системі координат. Позначка “:” відповідає логічному оператору “або”, що означає вибір для розгляду однієї з компонент в круглих дужках.

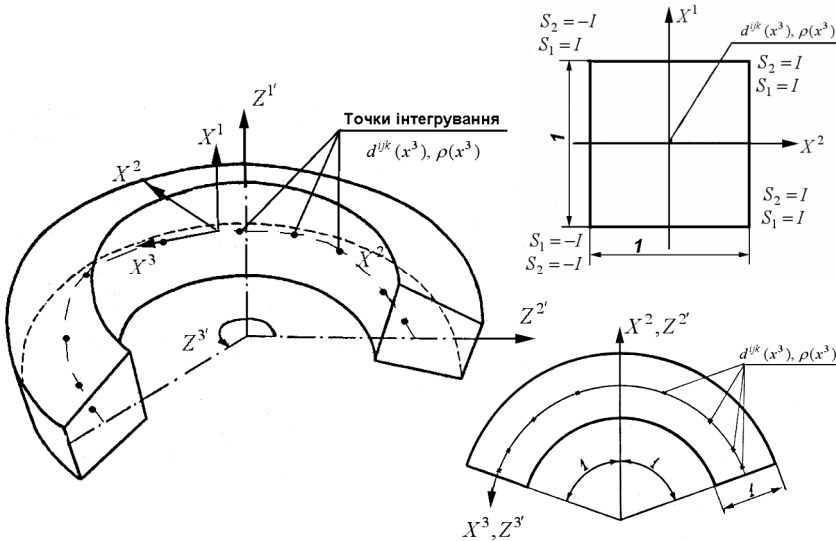


Рис.2. Неоднорідний незамкнений кільцевий скінченний елемент із довільними граничними умовами на торцях

Якщо обмежитися білінійним розподілом переміщень, швидкостей і прискорень в площині перетину елемента і подати їх через вузлові значення поліномами Лагранжа першого ступеня:

$$P_{(S_1, S_2)} = \prod_{n=1}^2 \left(S_{(n)} x^{(n)} + \frac{1}{2} \right), \quad (19)$$

можна записати:

$$(u : \dot{u} : \ddot{u})_{k'} = \sum_{S_1} \sum_{S_2} P_{(S_1, S_2)} (u : \dot{u} : \ddot{u})_{k'(S_1, S_2)}. \quad (20)$$

Індекси S_1 та S_2 визначають положення вузла відносно центру поперечного перерізу елемента і набувають значень ± 1 (рис. 2).

В центрі поперечного перерізу СЕ переміщення, швидкості, прискорення і їх похідні виражаються формулами:

$$\begin{aligned} (u : \dot{u} : \ddot{u})_{k'} \Big|_{x^\alpha=0} &= \frac{1}{4} \sum_{S_1} \sum_{S_2} (u : \dot{u} : \ddot{u})_{k'(S_1, S_2)}; \\ (u : \dot{u} : \ddot{u})_{k', \beta} \Big|_{x^\alpha=0} &= \frac{1}{2} \sum_{S_1} \sum_{S_2} (u : \dot{u} : \ddot{u})_{k'(S_1, S_2)} S_\beta; \\ (u : \dot{u} : \ddot{u})_{k', 12} \Big|_{x^\alpha=0} &= \sum_{S_1} \sum_{S_2} (u : \dot{u} : \ddot{u})_{k'(S_1, S_2)} S_1 S_2. \end{aligned} \quad (21)$$

Для апроксимації переміщень, швидкостей та прискорень в напрямку утворюючої використовується система координатних функцій ψ^l :

$$\begin{aligned} (u : \dot{u} : \ddot{u})_{k'(S_1, S_2)} &= \sum_{l=l_0}^L (u : \dot{u} : \ddot{u})_{k'(S_1, S_2)}^l \psi^l; \\ (u : \dot{u} : \ddot{u})_{k', 3} \Big|_{x^\alpha=0} &= \sum_{l=l_0}^L (u : \dot{u} : \ddot{u})_{k'(S_1, S_2)}^l \psi_{,3}^l. \end{aligned} \quad (22)$$

Для кільцевого незамкненого СЕ із довільними граничними умовами на торцях ψ^l – поліноми Лагранжа при $l = 0, 1$ і Міхліна при $l = 2, \dots, L$:

$$\begin{aligned} \psi^0 &= \frac{1}{2} (1 - x^3), & \psi^1 &= \frac{1}{2} (1 + x^3), \\ \psi^l &= f^{(l)} p^{(l)} - f^{(l-2)} p^{(l-2)}, & f^{(l)} &= \sqrt{(4l^2 - 1)^{-1}}, \end{aligned} \quad (23)$$

$$p^{(l)} = \sqrt{\frac{2l+1}{2}} \sum_{s=0}^l \frac{(-1)^s (l+s)!}{(l-s)! (s!)^2 2^{s+1}} \left[(1-x^3)^s + (-1)^l (1+x^3)^s \right].$$

Застосована система функцій задовольняє умовам повноти та лінійної незалежності і дозволяє просто і ефективно формулювати різні види граничних умов на торцях тіла традиційним для МСЕ засобом, тобто шляхом виключення відповідних рівнянь.

У відповідності до моментної схеми скінченних елементів (МССЕ) [7,8] компоненти тензору фізичних деформацій в поперечному перетині для кожної точки інтегрування подамо відрізками ряду Маклорена:

$$\begin{aligned} \tilde{\mathcal{E}}_{\alpha(\alpha)} &= \overset{\circ}{\tilde{\mathcal{E}}}_{\alpha(\alpha)} + \overset{\circ}{\tilde{\mathcal{E}}}_{\alpha(\alpha),(3-\alpha)} x^{(3-\alpha)}; \quad \tilde{\mathcal{E}}_{12} = \overset{\circ}{\tilde{\mathcal{E}}}_{12}; \\ \tilde{\mathcal{E}}_{\alpha 3} &= \overset{\circ}{\tilde{\mathcal{E}}}_{\alpha 3} + \overset{\circ}{\tilde{\mathcal{E}}}_{\alpha 3,(3-\alpha)} x^{(3-\alpha)}; \quad \tilde{\mathcal{E}}_{33} = \overset{\circ}{\tilde{\mathcal{E}}}_{33} + \overset{\circ}{\tilde{\mathcal{E}}}_{33,\beta} x^\beta, \end{aligned} \quad (24)$$

$$\text{де } \overset{\circ}{\tilde{\mathcal{E}}}_{ij} = \tilde{\mathcal{E}}_{ij} \Big|_{x^2=0}, \quad \overset{\circ}{\tilde{\mathcal{E}}}_{ij,\beta} = \frac{\partial \tilde{\mathcal{E}}_{ij}}{\partial x^\beta} \Big|_{x^2=0}.$$

Визначимо зв'язок між фізичними компонентами тензора переміщень $\tilde{\sigma}^{ij}$ та тензора деформацій на основі (10) і (12):

$$\tilde{\sigma}^{ij} = \tilde{d}^{ijkl} \tilde{\mathcal{E}}_{kl}, \quad (25)$$

Тоді для компонент тензора напружень використовуючи (24) і (25) можна записати:

$$\begin{aligned} \tilde{\sigma}^{ij} &= \tilde{d}^{ij11} \left(\overset{\circ}{\tilde{\mathcal{E}}}_{11} + \overset{\circ}{\tilde{\mathcal{E}}}_{11,2} x^2 \right) + 2 \tilde{d}^{ij12} \overset{\circ}{\tilde{\mathcal{E}}}_{12} + \tilde{d}^{ij22} \left(\overset{\circ}{\tilde{\mathcal{E}}}_{22} + \overset{\circ}{\tilde{\mathcal{E}}}_{22,1} x^1 \right) + \\ &+ 2 \tilde{d}^{ij13} \left(\overset{\circ}{\tilde{\mathcal{E}}}_{13} + \overset{\circ}{\tilde{\mathcal{E}}}_{13,2} x^2 \right) + 2 \tilde{d}^{ij23} \left(\overset{\circ}{\tilde{\mathcal{E}}}_{23} + \overset{\circ}{\tilde{\mathcal{E}}}_{23,1} x^1 \right) + \\ &+ \tilde{d}^{ij33} \left(\overset{\circ}{\tilde{\mathcal{E}}}_{33} + \overset{\circ}{\tilde{\mathcal{E}}}_{33,1} x^1 + \overset{\circ}{\tilde{\mathcal{E}}}_{33,2} x^2 \right). \end{aligned} \quad (26)$$

Застосовуючи позначення:

$$\begin{aligned} \overset{\circ}{\tilde{\sigma}}^{ij} &= \tilde{d}^{ijkl} \overset{\circ}{\tilde{\mathcal{E}}}_{kl}; \\ \overset{\circ}{\tilde{\sigma}}^{ij}_{,2} &= \tilde{d}^{ij11} \overset{\circ}{\tilde{\mathcal{E}}}_{11,2} + \tilde{d}^{ij13} \overset{\circ}{\tilde{\mathcal{E}}}_{13,2} + \tilde{d}^{ij33} \overset{\circ}{\tilde{\mathcal{E}}}_{33,2}; \end{aligned} \quad (27)$$

$$\overset{\circ}{\tilde{\sigma}}_{,1}^{ij} = \tilde{d}^{ij11} \overset{\circ}{\tilde{\epsilon}}_{22,1} + \tilde{d}^{ij23} \overset{\circ}{\tilde{\epsilon}}_{23,1} + \tilde{d}^{ij33} \overset{\circ}{\tilde{\epsilon}}_{33,1},$$

отримаємо

$$\tilde{\sigma}^{ij} = \overset{\circ}{\tilde{\sigma}}^{ij} + \overset{\circ}{\tilde{\sigma}}_{,2}^{ij} x^2 + \overset{\circ}{\tilde{\sigma}}_{,1}^{ij} x^1. \quad (28)$$

Компоненти $\overset{\circ}{\tilde{\sigma}}_{,\alpha}^{i(i)}$ ($\alpha \neq i$) відображають напруження згину і їх впливом на точність розв'язку нехтувати не можна, в особливості для оболонок. Відкидаючи з (28) члени вигляду $\overset{\circ}{\tilde{\sigma}}_{,\alpha}^{i\alpha}$ як ті, що не дають вкладення в енергію деформування елемента, подамо напруження відрізками ряду Маклорена:

$$\begin{aligned} \tilde{\sigma}^{\alpha(\alpha)} &= \overset{\circ}{\tilde{\sigma}}^{\alpha(\alpha)} + \overset{\circ}{\tilde{\sigma}}_{,(3-\alpha)}^{\alpha(\alpha)} x^{(3-\alpha)}; \quad \tilde{\sigma}^{12} = \overset{\circ}{\tilde{\sigma}}^{12}; \\ \tilde{\sigma}^{\alpha 3} &= \overset{\circ}{\tilde{\sigma}}^{\alpha 3} + \overset{\circ}{\tilde{\sigma}}_{,(3-\alpha)}^{\alpha 3} x^{(3-\alpha)}; \quad \tilde{\sigma}^{33} = \overset{\circ}{\tilde{\sigma}}^{33} + \overset{\circ}{\tilde{\sigma}}_{,\alpha}^{33} x^{\alpha}. \end{aligned} \quad (29)$$

Запишемо коефіцієнти розкладання фізичних компонент тензора напружень в ряд Маклорена з урахуванням (12):

$$\begin{aligned} \overset{\circ}{\tilde{\sigma}}^{\alpha(\alpha)} &= g_{\alpha(\alpha)}^{\circ} \overset{\circ}{\sigma}^{\alpha(\alpha)}; \quad \overset{\circ}{\tilde{\sigma}}^{12} = \sqrt{g_{11}^{\circ} g_{22}^{\circ}} \overset{\circ}{\sigma}^{12}; \\ \overset{\circ}{\tilde{\sigma}}^{\alpha 3} &= \sqrt{g_{\alpha(\alpha)}^{\circ} g_{33}^{\circ}} \overset{\circ}{\sigma}^{\alpha 3}; \quad \overset{\circ}{\tilde{\sigma}}^{33} = g_{33}^{\circ} \overset{\circ}{\sigma}^{33}; \\ \overset{\circ}{\tilde{\sigma}}_{,(3-\alpha)}^{\alpha(\alpha)} &= g_{\alpha(\alpha)}^{\circ} \overset{\circ}{\sigma}_{,(3-\alpha)}^{\alpha(\alpha)}; \quad \overset{\circ}{\tilde{\sigma}}_{,(3-\alpha)}^{\alpha 3} = \sqrt{g_{\alpha(\alpha)}^{\circ} g_{33}^{\circ}} \overset{\circ}{\sigma}_{,(3-\alpha)}^{\alpha 3}; \quad \overset{\circ}{\tilde{\sigma}}_{,\alpha}^{33} = g_{33}^{\circ} \overset{\circ}{\sigma}_{,(3-\alpha)}^{33}; \end{aligned} \quad (30)$$

Для тонких оболонок з навантаженням, що приведене до серединної поверхні в класичній теорії запроваджуються умови рівності нулю нормальних напружень на площадках, які паралельні площині, що дотична до серединної поверхні. Цій умові в рамках МССЕ відповідає наступна гіпотеза:

$$\overset{\circ}{\tilde{\sigma}}_{,(\alpha)(\alpha)} = 0, \quad (31)$$

яка визначає постійність нормальних напружень $\overset{\circ}{\sigma}_{,(\alpha)}^{\alpha(\alpha)} = 0$.

З умови (31) отримуємо зв'язок між коефіцієнтами розкладів (29) і (24) в центрі меридіонального перетину СЕ на основі узагальненого закону Гука:

$$\overset{\circ}{\tilde{\sigma}}^{ij} = \overset{\circ}{\tilde{d}}^{ijkl} \overset{\circ}{\tilde{\varepsilon}}_{kl}, \quad (32)$$

а також зв'язок між похідними напружень і деформацій для лінійно-пружного матеріалу, який забезпечує універсальність СЕ, що пропонуються:

$$\overset{\circ}{\tilde{\sigma}}_{,\alpha}^{ij} = \overset{\circ}{\tilde{d}}_{\alpha}^{ijkl} \overset{\circ}{\tilde{\varepsilon}}_{kl,\alpha}, \quad (33)$$

де

$$\overset{\circ}{\tilde{d}}_{\alpha}^{ijkl} = \overset{\circ}{\tilde{d}}^{ijkl} - \frac{\overset{\circ}{ij(\alpha)(\alpha)} \overset{\circ}{\tilde{d}}^{(\alpha)(\alpha)kl}}{\overset{\circ}{(\alpha)(\alpha)(\alpha)(\alpha)} \overset{\circ}{\tilde{d}}}. \quad (34)$$

Запишемо коефіцієнти розкладання фізичних компоненти тензора деформацій в ряд Маклорена з урахуванням (12):

$$\begin{aligned} \overset{\circ}{\tilde{\varepsilon}}_{\alpha(\alpha)} &= \frac{1}{\overset{\circ}{g}_{\alpha(\alpha)}} \overset{\circ}{\varepsilon}_{\alpha(\alpha)}; & \overset{\circ}{\tilde{\varepsilon}}_{12} &= \frac{1}{\sqrt{\overset{\circ}{g}_{11} \overset{\circ}{g}_{22}}} \overset{\circ}{\varepsilon}_{12}; \\ \overset{\circ}{\tilde{\varepsilon}}_{\alpha 3} &= \frac{1}{\sqrt{\overset{\circ}{g}_{\alpha(\alpha)} \overset{\circ}{g}_{33}}} \overset{\circ}{\varepsilon}_{\alpha 3}; & \overset{\circ}{\tilde{\varepsilon}}_{33} &= \frac{1}{\overset{\circ}{g}_{33}} \overset{\circ}{\varepsilon}_{33}. \end{aligned} \quad (35)$$

$$\begin{aligned} \overset{\circ}{\tilde{\varepsilon}}_{\alpha(\alpha),(3-\alpha)} &= \left. \frac{\partial \overset{\circ}{\tilde{\varepsilon}}_{\alpha(\alpha)}}{\partial x^{(3-\alpha)}} \right|_{x^r=0} = \left. \frac{\partial \left(\frac{\overset{\circ}{\varepsilon}_{\alpha(\alpha)}}{\overset{\circ}{g}_{\alpha(\alpha)}} \right)}{\partial x^{(3-\alpha)}} \right|_{x^r=0} = \\ &= \frac{1}{\overset{\circ}{g}_{\alpha(\alpha)}} \left(\left. \varepsilon_{\alpha(\alpha),(3-\alpha)} - \varepsilon_{\alpha(\alpha)} \frac{\overset{\circ}{g}_{\alpha(\alpha),(3-\alpha)}}{\overset{\circ}{g}_{\alpha(\alpha)}} \right) \right|_{x^r=0} = \\ &= \frac{1}{\overset{\circ}{g}_{\alpha(\alpha)}} \left(\overset{\circ}{\varepsilon}_{\alpha(\alpha),(3-\alpha)} - \overset{\circ}{\varepsilon}_{\alpha(\alpha)} \overset{\circ}{h}_{\alpha(\alpha),(3-\alpha)} \right); \end{aligned}$$

$$\begin{aligned}
\overset{\circ}{\tilde{\mathcal{E}}}_{\alpha 3, (3-\alpha)} &= \frac{\partial \tilde{\mathcal{E}}_{\alpha 3}}{\partial x^{(3-\alpha)}} \Big|_{x^\tau=0} = \frac{\partial \left(\frac{\mathcal{E}_{\alpha 3}}{\sqrt{g_{\alpha\alpha} g_{33}}} \right)}{\partial x^{(3-\alpha)}} \Big|_{x^\tau=0} = \\
&= \frac{1}{\sqrt{g_{\alpha\alpha} g_{33}}} \left[\mathcal{E}_{\alpha 3, (3-\alpha)} - \frac{1}{2} \mathcal{E}_{\alpha 3} \left(\frac{g_{\alpha\alpha, (3-\alpha)}}{g_{\alpha\alpha}} + \frac{g_{33, (3-\alpha)}}{g_{33}} \right) \right] \Big|_{x^\tau=0} = \\
&= \frac{1}{\sqrt{\overset{\circ}{g}_{\alpha\alpha} \overset{\circ}{g}_{33}}} \left[\overset{\circ}{\mathcal{E}}_{\alpha 3, (3-\alpha)} - \frac{1}{2} \overset{\circ}{\mathcal{E}}_{\alpha 3} \left(\overset{\circ}{h}_{\alpha\alpha, (3-\alpha)} + \overset{\circ}{h}_{33, (3-\alpha)} \right) \right]. \quad (36)
\end{aligned}$$

$$\begin{aligned}
\overset{\circ}{\tilde{\mathcal{E}}}_{33, \beta} &= \frac{\partial \tilde{\mathcal{E}}_{33}}{\partial x^\beta} \Big|_{x^\tau=0} = \frac{\partial \left(\frac{\mathcal{E}_{33}}{g_{33}} \right)}{\partial x^\beta} \Big|_{x^\tau=0} = \\
&= \frac{1}{g_{33}} \left(\mathcal{E}_{33, \beta} - \mathcal{E}_{33} \frac{g_{33, \beta}}{g_{33}} \right) \Big|_{x^\tau=0} = \frac{1}{\overset{\circ}{g}_{33}} \left(\overset{\circ}{\mathcal{E}}_{33, \beta} - \overset{\circ}{\mathcal{E}}_{33} \overset{\circ}{h}_{33, \beta} \right), \quad (37)
\end{aligned}$$

де $\overset{\circ}{\mathcal{E}}_{ij} = \mathcal{E}_{ij} \Big|_{x^\tau=0}$, $\overset{\circ}{\mathcal{E}}_{ij, \beta} = \frac{\partial \mathcal{E}_{ij}}{\partial x^\beta} \Big|_{x^\tau=0}$, $\overset{\circ}{h}_{ij, \delta} = \frac{\overset{\circ}{g}_{ij, \delta}}{\overset{\circ}{g}_{ij}}$, $\overset{\circ}{g}_{ij, \delta} = \frac{\partial g_{ij}}{\partial x^\delta} \Big|_{x^\tau=0}$.

Вирази коефіцієнтів деформацій через переміщення з урахуванням незалежності z_3^3 від x^α мають вигляд:

$$\begin{aligned}
\overset{\circ}{\mathcal{E}}_{\alpha\alpha} &= \frac{1}{2} \left(z_{, \alpha}^{\gamma'} u_{\gamma', \alpha} + z_{, \alpha}^{\gamma'} u_{\gamma', \alpha} \right) \Big|_{x^\tau=0} = \frac{1}{2} \left(\overset{\circ}{z}_{, \alpha}^{\gamma'} \overset{\circ}{u}_{\gamma', \alpha} + \overset{\circ}{z}_{, \alpha}^{\gamma'} \overset{\circ}{u}_{\gamma', \alpha} \right), \\
\overset{\circ}{\mathcal{E}}_{12} &= \frac{1}{2} \left(z_{, 1}^{\gamma'} u_{\gamma', 2} + z_{, 2}^{\gamma'} u_{\gamma', 1} \right) \Big|_{x^\tau=0} = \frac{1}{2} \left(\overset{\circ}{z}_{, 1}^{\gamma'} \overset{\circ}{u}_{\gamma', 2} + \overset{\circ}{z}_{, 2}^{\gamma'} \overset{\circ}{u}_{\gamma', 1} \right), \\
\overset{\circ}{\mathcal{E}}_{\alpha 3} &= \frac{1}{2} \left(z_{, 3}^{\gamma'} u_{\gamma', \alpha} + z_{, \alpha}^{\gamma'} u_{\gamma', 3} - \frac{2z_{, \alpha}^{\gamma'} z_{, 3}^{\gamma'} u_{\gamma', 3}}{z^{\gamma'}} \right) \Big|_{x^\tau=0} =
\end{aligned}$$

$$\begin{aligned}
&= \frac{1}{2} \left(\begin{matrix} \circ 3' & \circ & \circ \gamma' & \circ & \circ 2' & \circ 3' & \circ \\ z_{,3} u_{3',\alpha} + z_{,\alpha} u_{\gamma',3} - \frac{2 z_{,\alpha} z_{,3} u_{3'} }{z} \end{matrix} \right), \quad (38) \\
\mathcal{E}_{33} &= \left(z_{,3}^3 u_{3',3} + z^{2'} (z_{,3}^3)^2 u_{2'} \right) \Big|_{x^\tau=0} = z_{,3}^3 u_{3',3} + z^{2'} \left(\begin{matrix} \circ 3' \\ z_{,3}^3 \end{matrix} \right)^2 u_{2'}, \\
\mathcal{E}_{\alpha(\alpha),(3-\alpha)} &= \frac{\partial \mathcal{E}_{\alpha(\alpha)}}{\partial x^{(3-\alpha)}} \Big|_{x^\tau=0} = \frac{\partial \left(\frac{1}{2} (z_{,\alpha}^{\gamma'} u_{\gamma',(\alpha)} + z_{,\alpha}^{\gamma'} u_{\gamma',\alpha}) \right)}{\partial x^{(3-\alpha)}} \Big|_{x^\tau=0} = \\
&= \left(z_{,\alpha(3-\alpha)}^{\gamma'} u_{\gamma',\alpha} + z_{,\alpha}^{\gamma'} u_{\gamma',\alpha(3-\alpha)} \right) \Big|_{x^\tau=0} = z_{,\alpha(3-\alpha)}^{\gamma'} u_{\gamma',\alpha} + z_{,\alpha} u_{\gamma',\alpha(3-\alpha)}, \\
\mathcal{E}_{\alpha 3,(3-\alpha)} &= \frac{\partial \mathcal{E}_{\alpha 3}}{\partial x^{(3-\alpha)}} \Big|_{x^\tau=0} = \frac{\partial \left(\frac{1}{2} \left(z_{,3}^3 u_{3',\alpha} + z_{,\alpha}^{\gamma'} u_{\gamma',3} - \frac{2 z_{,\alpha} z_{,3}^3 u_{3'} }{z^{2'}} \right) \right)}{\partial x^{(3-\alpha)}} \Big|_{x^\tau=0} = \\
&= \frac{1}{2} \left(z_{,3}^3 u_{3',\alpha(3-\alpha)} + z_{,\alpha(3-\alpha)}^{\gamma'} u_{\gamma',3} + z_{,\alpha}^{\gamma'} u_{\gamma',3(3-\alpha)} - \right. \\
&\quad \left. - \frac{2 z_{,\alpha(3-\alpha)} z_{,3}^3 u_{3'} }{z^{2'}} - \frac{2 z_{,\alpha} z_{,3}^3 u_{3',(3-\alpha)}}{z^{2'}} + \frac{2 z_{,\alpha} z_{,3}^3 u_{3',(3-\alpha)}}{(z^{2'})^2} \right) \Big|_{x^\tau=0} = \\
&= \frac{1}{2} \left(\begin{matrix} \circ 3' & \circ & \circ \gamma' & \circ & \circ \gamma' & \circ \\ z_{,3} u_{3',\alpha(3-\alpha)} + z_{,\alpha(3-\alpha)} u_{\gamma',3} + z_{,\alpha} u_{\gamma',3(3-\alpha)} - \right. \\
&\quad \left. - \frac{2 z_{,\alpha(3-\alpha)} z_{,3} u_{3'} }{z} - \frac{2 z_{,\alpha} z_{,3} u_{3',(3-\alpha)}}{z} + \frac{2 z_{,\alpha} z_{,3} u_{3'} z_{,(3-\alpha)}}{\left(\begin{matrix} \circ 2' \\ z \end{matrix} \right)^2} \right),
\end{matrix} \right)
\end{aligned}$$

$$\begin{aligned} \overset{\circ}{\mathcal{E}}_{33,\beta} &= \frac{\partial \overset{\circ}{\mathcal{E}}_{33}}{\partial x^\beta} \Big|_{x^\tau=0} = \frac{\partial \left(z_{,3}^{3'} u_{3',3} + z^{2'} \left(z_{,3}^{3'} \right)^2 u_{2'} \right)}{\partial x^\beta} \Big|_{x^\tau=0} = \\ &= \left(z_{,3}^{3'} u_{3',3\beta} + z_{,\beta}^{2'} \left(z_{,3}^{3'} \right)^2 u_{2'} + z^{2'} \left(z_{,3}^{3'} \right)^2 u_{2',\beta} \right) \Big|_{x^\tau=0} = \\ &= z_{,3}^{3'} u_{3',3\beta} + z_{,\beta}^{2'} \left(z_{,3}^{3'} \right)^2 u_{2'} + z \left(z_{,3}^{3'} \right)^2 u_{2',\beta}. \end{aligned}$$

де

$$\begin{aligned} z_{,3}^{2'} &= z_{,3}^{2'} \Big|_{x^\tau=0}, \quad z_{,j}^{i'} = z_{,j}^{i'} \Big|_{x^\tau=0}, \quad z_{,12}^{\gamma'} = z_{,12}^{\gamma'} \Big|_{x^\tau=0}, \\ \overset{\circ}{u}_{i'} &= u_{i'} \Big|_{x^\tau=0}, \quad \overset{\circ}{u}_{i',\alpha} = u_{i',\alpha} \Big|_{x^\tau=0}, \quad \overset{\circ}{u}_{3',3} = u_{3',3} \Big|_{x^\tau=0}, \quad \overset{\circ}{u}_{i',\alpha(3-\alpha)} = u_{i',\alpha(3-\alpha)} \Big|_{x^\tau=0}. \end{aligned}$$

При заданому законі апроксимації переміщень (20), коефіцієнти ряду Маклорена обчислюються по формулах:

$$\begin{aligned} \overset{\circ}{\mathcal{E}}_{\alpha\beta} &= \frac{1}{4} \sum_{S_1} \sum_{S_2} \left[z_{,\alpha}^{\gamma'} u_{\gamma'(S_1, S_2)} S_\beta + z_{,\beta}^{\gamma'} u_{\gamma'(S_1, S_2)} S_\alpha \right], \\ \overset{\circ}{\mathcal{E}}_{\alpha 3} &= \frac{1}{4} \sum_{S_1} \sum_{S_2} \left[z_{,3}^{3'} u_{3'(S_1, S_2)} S_\alpha + \frac{1}{2} z_{,\alpha}^{\gamma'} u_{\gamma',3(S_1, S_2)} - \frac{z_{,\alpha} z_{,3}^{3'}}{z} u_{3'(S_1, S_2)} \right], \\ \overset{\circ}{\mathcal{E}}_{33} &= \frac{1}{4} \sum_{S_1} \sum_{S_2} \left[z_{,3}^{3'} u_{3',3(S_1, S_2)} + z \left(z_{,3}^{3'} \right)^2 u_{2'(S_1, S_2)} \right], \\ \overset{\circ}{\mathcal{E}}_{\alpha(\alpha), (3-\alpha)} &= \frac{1}{2} \sum_{S_1} \sum_{S_2} \left[z_{,\alpha(3-\alpha)}^{\gamma'} u_{\gamma'(S_1, S_2)} S_\alpha + 2 z_{,\alpha}^{\gamma'} u_{\gamma'(S_1, S_2)} S_\alpha S_{(3-\alpha)} \right], \\ \overset{\circ}{\mathcal{E}}_{\alpha 3, (3-\alpha)} &= \frac{1}{4} \sum_{S_1} \sum_{S_2} \left[2 z_{,3}^{3'} u_{3'(S_1, S_2)} S_\alpha S_{(3-\alpha)} + \frac{1}{2} z_{,\alpha(3-\alpha)}^{\gamma'} u_{\gamma',3(S_1, S_2)} + \right. \end{aligned} \tag{39}$$

$$\begin{aligned}
& + z, \alpha u_{\gamma', 3(S_1, S_2)} S_{(3-\alpha)} - z, 3 \left[\begin{array}{c} \circ 2' \\ z, \alpha(3-\alpha) \\ \circ 2' \\ z \end{array} u_{3'(S_1, S_2)} + \right. \\
& \left. + 2 \frac{z, \alpha}{z} u_{3'(S_1, S_2)} S_{(3-\alpha)} - \frac{z, \alpha z, (3-\alpha)}{\left(\begin{array}{c} \circ 2' \\ z \end{array} \right)^2} u_{3'(S_1, S_2)} \right], \\
\circ \varepsilon_{33, \alpha} &= \frac{1}{2} \sum_{S_1} \sum_{S_2} \left[\begin{array}{c} \circ 3' \\ z, 3 \end{array} u_{3'(S_1, S_2)} S_{\alpha} + \frac{z, \alpha z, 3}{2} u_{2'(S_1, S_2)} + z \begin{array}{c} \circ 2' \circ 3' \\ z, 3 \end{array} u_{2'(S_1, S_2)} S_{\alpha} \right].
\end{aligned}$$

Із урахуванням прийнятого у вигляді (22) розкладу переміщень в напрямку утворюючої на основі формули (39) отримаємо для кільцевого СЕ:

$$\begin{aligned}
\circ \dot{\varepsilon}_{\alpha\beta} &= \frac{1}{4} \sum_{S_1 \pm 1} \sum_{S_2 \pm 1} \sum_{l=0}^L \left(\begin{array}{c} \circ \gamma' \\ z, \alpha \end{array} u_{\gamma'(S_1, S_2)}^l S_{\beta} + \begin{array}{c} \circ \gamma' \\ z, \beta \end{array} u_{\gamma'(S_1, S_2)}^l S_{\alpha} \right) \psi^l; \\
\circ \dot{\varepsilon}_{\alpha 3} &= \frac{1}{4} \sum_{S_1 \pm 1} \sum_{S_2 \pm 1} \sum_{l=0}^L \left[\left(\begin{array}{c} \circ 2' \\ u_{3'(S_1, S_2)}^l S_{\alpha} - \frac{z, \alpha}{z} u_{3'(S_1, S_2)}^l \end{array} \right) \begin{array}{c} \circ 3' \\ z, 3 \end{array} \psi^l + \frac{1}{2} \begin{array}{c} \circ \gamma' \\ z, \alpha \end{array} u_{\gamma'(S_1, S_2)}^l \psi_{,3}^l \right]; \\
\circ \dot{\varepsilon}_{33} &= \frac{1}{4} \sum_{S_1 \pm 1} \sum_{S_2 \pm 1} \sum_{l=0}^L z, 3 \left(u_{3'(S_1, S_2)}^l \psi_{,3}^l + u_{2'(S_1, S_2)}^l \begin{array}{c} \circ 2' \circ 3' \\ z \quad z, 3 \end{array} \psi^l \right); \\
\circ \dot{\varepsilon}_{\alpha\alpha, (3-\alpha)} &= \frac{1}{2} \sum_{S_1 \pm 1} \sum_{S_2 \pm 1} \sum_{l=0}^L \left(2 \begin{array}{c} \circ \gamma' \\ z, \alpha \end{array} S_1 S_2 + \begin{array}{c} \circ \gamma' \\ z, 12 \end{array} S_{\alpha} \right) u_{\gamma'(S_1, S_2)}^l \psi^l; \\
\circ \dot{\varepsilon}_{\alpha 3, (3-\alpha)} &= \frac{1}{4} \sum_{S_1 \pm 1} \sum_{S_2 \pm 1} \sum_{l=0}^L \left[\begin{array}{c} \circ \gamma' \\ z, \alpha \end{array} S_{(3-\alpha)} + \frac{1}{2} \begin{array}{c} \circ \gamma' \\ z, 12 \end{array} \right] u_{\gamma'(S_1, S_2)}^l \psi_{,3}^l +
\end{aligned} \tag{40}$$

$$+ z_{,3} \left(2S_{\alpha} S_{(3-\alpha)} - \frac{1}{z} \left(\begin{matrix} \circ 2' \\ z_{,12} + 2z_{,\alpha} S_{(3-\alpha)} - \frac{\circ 2' \circ 2'}{z} \end{matrix} \right) u_{(S_1, S_2)}^l \psi^l \right) \Bigg] ;$$

$$\dot{\mathcal{E}}_{33,\alpha} = \frac{1}{4} \sum_{S_1=\pm 1} \sum_{S_2=\pm 1} \sum_{l=0}^L z_{,3} \left(\begin{matrix} \circ 3' \\ z_{,3} \end{matrix} \left(2z_{,3} S_{\alpha} + \begin{matrix} \circ 2' \\ z_{,\alpha} \end{matrix} \right) u_{2'(S_1, S_2)}^l \psi^l + 2S_{\alpha} u_{3'(S_1, S_2)}^l \psi_{,3}^l \right) ;$$

Представимо

$$\dot{\mathcal{E}}_{ij} = \dot{\mathcal{E}}_{(1)ij} + \dot{\mathcal{E}}_{(2)ij} , \quad (41)$$

де

$$\dot{\mathcal{E}}_{(1)\alpha\beta} = \frac{1}{4} \sum_{S_1=\pm 1} \sum_{S_2=\pm 1} \sum_{l=0}^L \left(\begin{matrix} \circ \gamma' \\ z_{,\alpha} \end{matrix} u_{\gamma'(S_1, S_2)}^l S_{\beta} + \begin{matrix} \circ \gamma' \\ z_{,\beta} \end{matrix} u_{\gamma'(S_1, S_2)}^l S_{\alpha} \right) \psi^l ;$$

$$\dot{\mathcal{E}}_{(1)\alpha 3} = \frac{1}{4} \sum_{S_1=\pm 1} \sum_{S_2=\pm 1} \sum_{l=0}^L u_{3'(S_1, S_2)}^l \begin{matrix} \circ 3' \\ z_{,3} \end{matrix} \left(S_{\alpha} - \frac{\circ 2'}{z_{,\alpha}} \right) \psi^l ;$$

$$\dot{\mathcal{E}}_{(1)33} = \frac{1}{4} \sum_{S_1=\pm 1} \sum_{S_2=\pm 1} \sum_{l=0}^L z_{,3} \left(\begin{matrix} \circ 3' \\ z_{,3} \end{matrix} \right)^2 u_{2'(S_1, S_2)}^l \psi^l ;$$

$$\dot{\mathcal{E}}_{(2)\alpha 3} = \frac{1}{8} \sum_{S_1=\pm 1} \sum_{S_2=\pm 1} \sum_{l=0}^L z_{,\alpha} u_{\gamma'(S_1, S_2)}^l \psi_{,3}^l ;$$

$$\dot{\mathcal{E}}_{(2)33} = \frac{1}{4} \sum_{S_1=\pm 1} \sum_{S_2=\pm 1} \sum_{l=0}^L z_{,3} u_{3'(S_1, S_2)}^l \psi_{,3}^l ; \quad (42)$$

$$\dot{\mathcal{E}}_{(1)\alpha\alpha, (3-\alpha)} = \frac{1}{2} \sum_{S_1=\pm 1} \sum_{S_2=\pm 1} \sum_{l=0}^L \left(2z_{,\alpha} S_1 S_2 + \begin{matrix} \circ 2' \\ z_{,12} \end{matrix} S_{\alpha} \right) u_{\gamma'(S_1, S_2)}^l \psi^l ;$$

$$\dot{\mathcal{E}}_{(1)\alpha 3, (3-\alpha)} =$$

$$= \frac{1}{4} \sum_{S_1=\pm 1} \sum_{S_2=\pm 1} \sum_{l=0}^L z_{,3} \left(2S_{\alpha} S_{(3-\alpha)} - \frac{1}{z} \left(\begin{matrix} \circ 2' \\ z_{,12} \end{matrix} + 2z_{,\alpha} S_{(3-\alpha)} - \frac{\circ 2' \circ 2'}{z} \right) u_{3'(S_2, S_2)}^l \psi^l \right) ;$$

$$\begin{aligned}\mathring{E}_{(1)33,\alpha} &= \frac{1}{4} \sum_{S_1=\pm 1} \sum_{S_2=\pm 1} \sum_{l=0}^L \left(\overset{\circ}{z}_{,3}{}^{3'} \right)^2 \left(2 \overset{\circ}{z}{}^{2'} S_\alpha + \overset{\circ}{z}_{,\alpha}{}^{2'} \right) u_{2'(S_1, S_2)}^l \psi_{,3}^l ; \\ \mathring{E}_{(2)\alpha 3,(3-\alpha)} &= \frac{1}{4} \sum_{S_1=\pm 1} \sum_{S_2=\pm 1} \sum_{l=0}^L \left(\overset{\circ}{z}_{,\alpha}{}^{\gamma'} S_{(3-\alpha)} + \frac{1}{2} \overset{\circ}{z}_{,12}{}^{\gamma'} \right) u_{\gamma'(S_1, S_2)}^l \psi_{,3}^l ; \\ \mathring{E}_{(2)33,\alpha} &= \frac{1}{4} \sum_{S_1=\pm 1} \sum_{S_2=\pm 1} \sum_{l=0}^L 2 \overset{\circ}{z}_{,3}{}^{3'} S_\alpha u_{3'(S_1, S_2)}^l \psi_{,3}^l .\end{aligned}$$

Побудова матриці жорсткості і матриці мас СЕ. Виходячи з виразу (17), варіація потенційної енергії деформації одного СЕ може бути записана у вигляді:

$$\delta W = \int_{x^1=-\frac{1}{2}}^{x^1=\frac{1}{2}} \int_{x^2=-\frac{1}{2}}^{x^2=\frac{1}{2}} \int_{x^3=-1}^{x^3=1} \tilde{\sigma}^{ij} \delta \tilde{\epsilon}_{ij} \sqrt{g} dx^1 dx^2 dx^3. \quad (43)$$

Фізичні компоненти тензорів напружень $\tilde{\sigma}^{ij}$ і деформацій $\tilde{\epsilon}_{ij}$ представимо відрізками ряду Маклорена (24) і (29) згідно основних положень МССЕ:

$$\begin{aligned}\delta W &= \int_{x^1=-\frac{1}{2}}^{x^1=\frac{1}{2}} \int_{x^2=-\frac{1}{2}}^{x^2=\frac{1}{2}} \int_{x^3=-1}^{x^3=1} \left[\left(\overset{\circ}{\tilde{\sigma}}^{\alpha(\alpha)} + \overset{\circ}{\tilde{\sigma}}_{,(3-\alpha)}^{\alpha(\alpha)} x^{(3-\alpha)} \right) \delta \left(\overset{\circ}{\tilde{\epsilon}}^{\alpha(\alpha)} + \overset{\circ}{\tilde{\epsilon}}_{\alpha(\alpha),(3-\alpha)} x^{(3-\alpha)} \right) + \right. \\ &+ 2 \overset{\circ}{\tilde{\sigma}}^{12} \delta \overset{\circ}{\tilde{\epsilon}}_{12} + \left(\overset{\circ}{\tilde{\sigma}}^{\alpha 3} + \overset{\circ}{\tilde{\sigma}}_{,(3-\alpha)}^{\alpha 3} x^{(3-\alpha)} \right) \delta \left(\overset{\circ}{\tilde{\epsilon}}^{\alpha 3} + \overset{\circ}{\tilde{\epsilon}}_{\alpha 3,(3-\alpha)} x^{(3-\alpha)} \right) + \\ &\left. + \left(\overset{\circ}{\tilde{\sigma}}^{33} + \overset{\circ}{\tilde{\sigma}}_{,\alpha}{}^{33} x^\alpha \right) \delta \left(\overset{\circ}{\tilde{\epsilon}}^{33} + \overset{\circ}{\tilde{\epsilon}}_{33,\beta} x^\beta \right) \right] \sqrt{g} dx^1 dx^2 dx^3.\end{aligned} \quad (44)$$

Використання МССЕ та прийнятих гіпотез відповідно розподілення компонентів тензору пружних сталей d^{ijkl} , та визначника матриці компонентів метричного тензору \sqrt{g} (18), дозволяє виконати інтегрування в межах меридіонального перетину СЕ по x^1 та по x^2 в замкнутому вигляді. Для цього достатньо обчислити наступні інтеграли:

$$\int_{x^1=-\frac{1}{2}}^{x^1=\frac{1}{2}} \int_{x^2=-\frac{1}{2}}^{x^2=\frac{1}{2}} dx^1 dx^2 = 1; \quad \int_{x^1=-\frac{1}{2}}^{x^1=\frac{1}{2}} \int_{x^2=-\frac{1}{2}}^{x^2=\frac{1}{2}} x^\alpha dx^1 dx^2 = 0;$$

$$\int_{x^1=-\frac{1}{2}}^{x^1=\frac{1}{2}} \int_{x^2=-\frac{1}{2}}^{x^2=\frac{1}{2}} x^\alpha x^\beta dx^1 dx^2 = \begin{cases} 0, & \alpha \neq \beta \\ \frac{1}{12}, & \alpha = \beta \end{cases}. \quad (45)$$

Після відповідних перетворень для варіації потенційної енергії δW , отримаємо наступний вираз:

$$\delta W = \int_{x_3=-1}^{x_3=1} \left[\overset{\circ}{\sigma}{}^{ij} \delta \overset{\circ}{\varepsilon}{}_{ij} + \frac{1}{12} \left(\overset{\circ}{\sigma}{}^{(\alpha)(\alpha)}_{(3-\alpha)} \delta \overset{\circ}{\varepsilon}{}_{\alpha(\alpha),(3-\alpha)} + \overset{\circ}{\sigma}{}^{\alpha 3}_{(3-\alpha)} \delta \overset{\circ}{\varepsilon}{}_{\alpha 3,(3-\alpha)} + \overset{\circ}{\sigma}{}^{\alpha 3}_{,\alpha} \delta \overset{\circ}{\varepsilon}{}_{33,\alpha} \right) \right] \sqrt{g} dx^3. \quad (46)$$

Представляючи в (46) фізичні компоненти коефіцієнтів розкладу деформацій та напружень згідно (30) і (35) запишемо:

$$\delta W = \int_{x_3=-1}^{x_3=1} \left\{ \overset{\circ}{\sigma}{}^{ij} \delta \overset{\circ}{\varepsilon}{}_{ij} + \frac{1}{12} \left[\overset{\circ}{\sigma}{}^{(\alpha)(\alpha)}_{(3-\alpha)} \delta \left(\overset{\circ}{\varepsilon}{}_{\alpha(\alpha),(3-\alpha)} - \overset{\circ}{\varepsilon}{}_{\alpha(\alpha)} \overset{\circ}{h}{}_{\alpha(\alpha),(3-\alpha)} \right) + \overset{\circ}{\sigma}{}^{\alpha 3}_{(3-\alpha)} \delta \left[\overset{\circ}{\varepsilon}{}_{\alpha 3,(3-\alpha)} - \frac{1}{2} \overset{\circ}{\varepsilon}{}_{\alpha 3} \left(\overset{\circ}{h}{}_{\alpha\alpha,(3-\alpha)} + \overset{\circ}{h}{}_{33,(3-\alpha)} \right) \right] + \overset{\circ}{\sigma}{}^{\alpha 3}_{,\alpha} \delta \left(\overset{\circ}{\varepsilon}{}_{33,\beta} - \overset{\circ}{\varepsilon}{}_{33} \overset{\circ}{h}{}_{33,\beta} \right) \right] \right\} \sqrt{g} dx^3. \quad (47)$$

Сформуємо наступні вектори коефіцієнтів розкладу деформацій та напружень в ряд Маклорена:

$$\left\{ \overset{\circ}{\varepsilon} \right\}^T = \left\{ \overset{\circ}{\varepsilon}_{11} \quad \overset{\circ}{\varepsilon}_{22} \quad \overset{\circ}{\varepsilon}_{33} \quad 2\overset{\circ}{\varepsilon}_{12} \quad 2\overset{\circ}{\varepsilon}_{13} \quad 2\overset{\circ}{\varepsilon}_{23} \right\}; \quad (48)$$

$$\begin{aligned}
\left\{ \overset{\circ}{\varepsilon}_{,1} \right\}^T &= \left\{ \overset{\circ}{\varepsilon}_{22,1} - \overset{\circ}{\varepsilon}_{22} \overset{\circ}{h}_{22,1} \quad \overset{\circ}{\varepsilon}_{33,1} - \overset{\circ}{\varepsilon}_{33} \overset{\circ}{h}_{33,1} \quad 2 \left(\overset{\circ}{\varepsilon}_{23,1} - \frac{1}{2} \overset{\circ}{\varepsilon}_{23} \left(\overset{\circ}{h}_{22,1} + \overset{\circ}{h}_{33,1} \right) \right) \right\}; \\
\left\{ \overset{\circ}{\varepsilon}_{,2} \right\}^T &= \left\{ \overset{\circ}{\varepsilon}_{11,2} - \overset{\circ}{\varepsilon}_{11} \overset{\circ}{h}_{11,2} \quad \overset{\circ}{\varepsilon}_{33,2} - \overset{\circ}{\varepsilon}_{33} \overset{\circ}{h}_{33,2} \quad 2 \left(\overset{\circ}{\varepsilon}_{13,2} - \frac{1}{2} \overset{\circ}{\varepsilon}_{13} \left(\overset{\circ}{h}_{11,2} + \overset{\circ}{h}_{33,2} \right) \right) \right\}; \\
\left\{ \overset{\circ}{\sigma} \right\}^T &= \left\{ \overset{\circ}{\sigma}^{11} \quad \overset{\circ}{\sigma}^{22} \quad \overset{\circ}{\sigma}^{33} \quad \overset{\circ}{\sigma}^{12} \quad \overset{\circ}{\sigma}^{13} \quad \overset{\circ}{\sigma}^{23} \right\}; \\
\left\{ \overset{\circ}{\sigma}_{,1} \right\}^T &= \left\{ \overset{\circ}{\sigma}_{,1}^{22} \quad \overset{\circ}{\sigma}_{,1}^{33} \quad \overset{\circ}{\sigma}_{,1}^{23} \right\}; \quad \left\{ \overset{\circ}{\sigma}_{,2} \right\}^T = \left\{ \overset{\circ}{\sigma}_{,2}^{11} \quad \overset{\circ}{\sigma}_{,2}^{33} \quad \overset{\circ}{\sigma}_{,2}^{13} \right\}.
\end{aligned} \tag{49}$$

Тоді вираз варіації потенційної енергії скінченного елемента може бути поданий у векторній формі:

$$\delta W = \int_{x^3=-1}^{x^3=1} \left\{ \left(\delta \left\{ \overset{\circ}{\varepsilon} \right\}^T \right) \left\{ \overset{\circ}{\sigma} \right\} + \frac{1}{12} \left[\left(\delta \left\{ \overset{\circ}{\varepsilon}_{,1} \right\}^T \right) \left\{ \overset{\circ}{\sigma}_{,1} \right\} + \left(\delta \left\{ \overset{\circ}{\varepsilon}_{,2} \right\}^T \right) \left\{ \overset{\circ}{\sigma}_{,2} \right\} \right] \right\} \sqrt{g} dx^3. \tag{50}$$

Співвідношення, що описують залежність між коефіцієнтами розкладення деформацій у ряд Маклорена і коефіцієнтами розкладення переміщень за поліномами, у матричній формі мають наступний вигляд:

$$\begin{aligned}
\left\{ \overset{\circ}{\varepsilon} \right\} &= \sum_{l=0}^L \left(\left[\overset{\circ}{B}_1 \right] \psi^{(l)} + \left[\overset{\circ}{B}_2 \right] \psi_{,3}^{(l)} \right) \{ u \}_l; \\
\left\{ \overset{\circ}{\varepsilon}_{,\alpha} \right\} &= \sum_{l=0}^L \left(\left[\overset{\circ}{B}_{1,\alpha} \right] \psi^{(l)} + \left[\overset{\circ}{B}_{2,\alpha} \right] \psi_{,3}^{(l)} \right) \{ u \}_l,
\end{aligned} \tag{51}$$

$$\text{де } \{ u_{i'} \}_l^T = \{ u_{i'(-1;-1)}^l \quad u_{i'(1;-1)}^l \quad u_{i'(-1;1)}^l \quad u_{i'(1;1)}^l \}.$$

$$\left[\overset{\circ}{B}_\alpha \right] = \left[\left[\overset{\circ}{B}_\alpha \right]^{(-1;-1)} \quad \left[\overset{\circ}{B}_\alpha \right]^{(1;-1)} \quad \left[\overset{\circ}{B}_\alpha \right]^{(-1;1)} \quad \left[\overset{\circ}{B}_\alpha \right]^{(1;1)} \right]. \tag{52}$$

$$\left[\overset{\circ}{B}_{\alpha,\beta} \right] = \left[\left[\overset{\circ}{B}_{\alpha,\beta} \right]^{(-1;-1)} \quad \left[\overset{\circ}{B}_{\alpha,\beta} \right]^{(1;-1)} \quad \left[\overset{\circ}{B}_{\alpha,\beta} \right]^{(-1;1)} \quad \left[\overset{\circ}{B}_{\alpha,\beta} \right]^{(1;1)} \right]. \tag{53}$$

Значення компонент підматриць $\begin{bmatrix} \circ \\ B_{\alpha} \end{bmatrix}^{(S_1, S_2)}$, $\begin{bmatrix} \circ \\ B_{\alpha, \beta} \end{bmatrix}^{(S_1, S_2)}$ у виразі (53)

для неоднорідних косокутних кругових елементів визначаються відповідно до формул (42):

$$\begin{bmatrix} \circ \\ B_1 \end{bmatrix}^{(S_1, S_2)} = \begin{bmatrix} \frac{1}{2} S_1 \overset{\circ}{z}_{,1} \overset{\circ}{1}' & \frac{1}{2} S_1 \overset{\circ}{z}_{,1} \overset{\circ}{2}' & 0 \\ \frac{1}{2} S_2 \overset{\circ}{z}_{,2} \overset{\circ}{1}' & \frac{1}{2} S_2 \overset{\circ}{z}_{,2} \overset{\circ}{2}' & 0 \\ 0 & \frac{1}{4} \overset{\circ}{z} \overset{\circ}{2}' \left(\overset{\circ}{z}_{,3} \overset{\circ}{3}' \right)^2 & 0 \\ \frac{1}{2} \left(S_2 \overset{\circ}{z}_{,1} \overset{\circ}{1}' + S_1 \overset{\circ}{z}_{,2} \overset{\circ}{1}' \right) & \frac{1}{2} \left(S_2 \overset{\circ}{z}_{,1} \overset{\circ}{2}' + S_1 \overset{\circ}{z}_{,2} \overset{\circ}{2}' \right) & 0 \\ 0 & 0 & \frac{1}{2} \overset{\circ}{z}_{,3} \overset{\circ}{3}' \left(S_1 - \frac{\overset{\circ}{z}_{,1}}{\overset{\circ}{z}_{,2}'} \right) \\ 0 & 0 & \frac{1}{2} \overset{\circ}{z}_{,3} \overset{\circ}{3}' \left(S_2 - \frac{\overset{\circ}{z}_{,2}}{\overset{\circ}{z}_{,2}'} \right) \end{bmatrix}; \quad (54)$$

$$\begin{bmatrix} \circ \\ B_2 \end{bmatrix}^{(S_1, S_2)} = \begin{bmatrix} 0 & 0 & 0 \\ 0 & 0 & 0 \\ 0 & 0 & \frac{1}{4} \overset{\circ}{z}_{,3} \overset{\circ}{3}' \\ 0 & 0 & 0 \\ \frac{1}{4} \overset{\circ}{z}_{,1} \overset{\circ}{1}' & \frac{1}{4} \overset{\circ}{z}_{,1} \overset{\circ}{2}' & 0 \\ \frac{1}{4} \overset{\circ}{z}_{,2} \overset{\circ}{1}' & \frac{1}{4} \overset{\circ}{z}_{,2} \overset{\circ}{2}' & 0 \end{bmatrix};$$

$$\begin{bmatrix} \circ \\ B_{1,1} \end{bmatrix}^{(S_1, S_2)} = \begin{bmatrix} \left(B_{1,1}^{22} \right)_{11} & \left(B_{1,1}^{22} \right)_{12} & 0 \\ 0 & \left(B_{1,1}^{33} \right)_{22} & 0 \\ 0 & 0 & \left(B_{1,1}^{23} \right)_{33} \end{bmatrix},$$

де

$$\left(B_{1,1}^{22}\right)_{11} = S_1 S_2 \overset{\circ}{z}_{,2} + \frac{S_2}{2} \overset{\circ}{z}_{,12} - \frac{1}{2} S_2 \overset{\circ}{z}_{,2} \overset{\circ}{h}_{22,1};$$

$$\left(B_{1,1}^{22}\right)_{12} = S_1 S_2 \overset{\circ}{z}_{,2} + \frac{S_2}{2} \overset{\circ}{z}_{,12} - \frac{1}{2} S_2 \overset{\circ}{z}_{,2} \overset{\circ}{h}_{22,1};$$

$$\left(B_{1,1}^{33}\right)_{22} = \frac{1}{4} \left(\overset{\circ}{z}_{,3}\right)^2 \begin{pmatrix} \overset{\circ}{z} & \overset{\circ}{z} & \overset{\circ}{z} \\ 2 \overset{\circ}{z} & S_1 + \overset{\circ}{z}_{,1} - \overset{\circ}{z} & \overset{\circ}{h}_{33,1} \end{pmatrix};$$

$$\left(B_{1,1}^{23}\right)_{33} = \frac{1}{2} \overset{\circ}{z}_{,3} \begin{pmatrix} 2 S_1 S_2 - \frac{1}{\overset{\circ}{z}} \begin{pmatrix} \overset{\circ}{z}_{,12} + 2 \overset{\circ}{z}_{,2} S_1 - \frac{\overset{\circ}{z}_1 \overset{\circ}{z}_2}{\overset{\circ}{z}} \end{pmatrix} - \frac{1}{2} \begin{pmatrix} S_2 - \frac{\overset{\circ}{z}_2}{\overset{\circ}{z}} \end{pmatrix} \begin{pmatrix} \overset{\circ}{h}_{22,1} + \overset{\circ}{h}_{33,1} \end{pmatrix} \end{pmatrix}.$$

$$\left[B_{2,1}\right]^{(S_1, S_2)} = \begin{bmatrix} 0 & 0 & 0 \\ 0 & 0 & \left(B_{2,1}^{22}\right)_{23} \\ \left(B_{2,1}^{23}\right)_{31} & \left(B_{2,1}^{23}\right)_{32} & 0 \end{bmatrix},$$

де

$$\left(B_{2,1}^{22}\right)_{23} = \frac{1}{4} \overset{\circ}{z}_{,3} \left(2 S_1 - \overset{\circ}{h}_{33,1}\right);$$

$$\left(B_{2,1}^{23}\right)_{31} = \frac{1}{2} \overset{\circ}{z}_{,2} S_1 + \frac{1}{4} \overset{\circ}{z}_{,12} - \frac{1}{8} \overset{\circ}{z}_{,2} \left(\overset{\circ}{h}_{11,2} + \overset{\circ}{h}_{33,2}\right);$$

$$\left(B_{2,1}^{23}\right)_{32} = \frac{1}{2} \overset{\circ}{z}_{,2} S_1 + \frac{1}{4} \overset{\circ}{z}_{,12} - \frac{1}{8} \overset{\circ}{z}_{,2} \left(\overset{\circ}{h}_{11,2} + \overset{\circ}{h}_{33,2}\right).$$

$$\left[B_{1,2}\right]^{(S_1, S_2)} = \begin{bmatrix} \left(B_{1,2}^{22}\right)_{11} & \left(B_{1,2}^{22}\right)_{12} & 0 \\ 0 & \left(B_{1,2}^{33}\right)_{22} & 0 \\ 0 & 0 & \left(B_{1,2}^{23}\right)_{33} \end{bmatrix},$$

де

$$\begin{aligned} \left(B_{1,2}^{33} \right)_{22} &= \frac{1}{4} \begin{pmatrix} \overset{\circ}{z}_{,3} \\ \overset{\circ}{z}_{,3} \end{pmatrix}^2 \begin{pmatrix} \overset{\circ}{z}_{,2'} & \overset{\circ}{z}_{,2'} & \overset{\circ}{z}_{,2'} \\ 2 \overset{\circ}{z} & S_2 + \overset{\circ}{z}_{,2} - \overset{\circ}{z} & h_{33,2} \end{pmatrix}; \\ \left(B_{1,2}^{23} \right)_{33} &= \frac{1}{2} \overset{\circ}{z}_{,3} \left(2S_1 S_2 - \frac{1}{\overset{\circ}{z}_{,2'}} \begin{pmatrix} \overset{\circ}{z}_{,12} + 2 \overset{\circ}{z}_{,1} & \overset{\circ}{z}_{,1} \\ \overset{\circ}{z}_{,1} & \overset{\circ}{z}_{,2'} \end{pmatrix} S_2 - \frac{1}{2} \begin{pmatrix} \overset{\circ}{z}_{,1} \\ \overset{\circ}{z}_{,2'} \end{pmatrix} \begin{pmatrix} \overset{\circ}{h}_{11,2} + \overset{\circ}{h}_{33,2} \end{pmatrix} \right); \\ \left[\overset{\circ}{B}_{2,2} \right]^{(S_1, S_2)} &= \begin{bmatrix} 0 & 0 & 0 \\ 0 & 0 & \left(B_{2,2}^{22} \right)_{23} \\ \left(B_{2,2}^{23} \right)_{31} & \left(B_{2,2}^{23} \right)_{32} & 0 \end{bmatrix}, \end{aligned}$$

де

$$\begin{aligned} \left(B_{2,2}^{23} \right)_{31} &= \frac{1}{2} \overset{\circ}{z}_{,1} S_2 + \frac{1}{4} \overset{\circ}{z}_{,12} - \frac{1}{8} \overset{\circ}{z}_{,1} \left(\overset{\circ}{h}_{11,2} + \overset{\circ}{h}_{33,2} \right); \\ \left(B_{2,2}^{23} \right)_{32} &= \frac{1}{2} \overset{\circ}{z}_{,1} S_2 + \frac{1}{4} \overset{\circ}{z}_{,12} - \frac{1}{8} \overset{\circ}{z}_{,1} \left(\overset{\circ}{h}_{11,2} + \overset{\circ}{h}_{33,2} \right). \end{aligned}$$

З урахуванням подання коефіцієнтів розкладу деформацій у ряд Маклорена через коефіцієнти розкладу перемішень, варіація енергії деформації одного СЕ може бути подана у вигляді:

$$\begin{aligned} \delta W &= \int_{x^3=-1}^{x^3=1} \left(\delta \{u_l\}^T \left(\left[\overset{\circ}{B}_1 \right]^T \psi^{(l)} + \left[\overset{\circ}{B}_2 \right]^T \psi_{,3}^{(l)} \right) \left\{ \overset{\circ}{\sigma} \right\} + \right. \\ &\left. + \frac{1}{12} \sum_{\alpha=1}^2 \left(\delta \{u_l\}^T \left(\left[\overset{\circ}{B}_{1,\alpha} \right]^T \psi^{(l)} + \left[\overset{\circ}{B}_{2,\alpha} \right]^T \psi_{,3}^{(l)} \right) \left\{ \overset{\circ}{\sigma} \right\}_{,\alpha} \right) \right) \sqrt{g} dx^3. \quad (55) \end{aligned}$$

Коефіцієнти розкладення напружень пов'язані з коефіцієнтами розкладання прирощень деформацій законом Гука, векторна форма якого має вигляд:

$$\left\{ \overset{\circ}{\sigma} \right\} = \left[\overset{\circ}{D} \right] \left\{ \overset{\circ}{\varepsilon} \right\}; \quad \left\{ \overset{\circ}{\sigma}_{,\alpha} \right\} = \left[\overset{\circ}{D}_{,\alpha} \right] \left\{ \overset{\circ}{\varepsilon}_{,\alpha} \right\}, \quad (56)$$

де, у відповідності із законом Гука,

$$\begin{aligned} \left[\overset{\circ}{D} \right] &= \left[\overset{\circ}{d}^{ijkl} \right]; \\ \left[\overset{\circ}{D}, \alpha \right] &= \left[\left[\overset{\circ}{d}^{ij(3-\alpha)(3-\alpha)} \right] \left[\overset{\circ}{d}^{ij33} \right] \left[\overset{\circ}{d}^{ij(3-\alpha)} \right] \right]. \end{aligned} \quad (57)$$

З урахуванням цього вираз для варіації енергій деформування СЕ (55) набуває вигляду:

$$\delta W = \int_{x^3=-1}^{x^3=1} \left\{ \delta \left\{ \varepsilon \right\}^T \left[\overset{\circ}{D} \right] \left\{ \varepsilon \right\} + \frac{1}{12} \sum_{\alpha=1}^2 \left(\delta \left\{ \varepsilon, \alpha \right\}^T \left[\overset{\circ}{D}, \alpha \right] \left\{ \varepsilon, \alpha \right\} \right) \right\} \sqrt{g} dx^3. \quad (58)$$

Враховуючи залежності між коефіцієнтами розкладання прирощень деформацій і коефіцієнтами розкладання переміщень за поліномами, подамо отриманий вираз варіації енергії СЕ у вигляді:

$$\delta W = \sum_{l=0}^L \sum_{n=0}^L \left(\delta \{ u \}_l^T \right) [K]_{ln} \{ u \}_n, \quad (59)$$

де $[K]_{ln}$ – матриця жорсткості неоднорідного незамкнутого кільцевого скінченного елемента з довільними граничними умовами на торцях:

$$\begin{aligned} [K]_{ln} &= \int_{x^3=-1}^{x^3=1} \left\{ \left(\left[\overset{\circ}{B}_1 \right]^T \psi^{(l)} + \left[\overset{\circ}{B}_2 \right]^T \psi_{,3}^{(l)} \right) \left[\overset{\circ}{D} \right] \times \sum_{n=0}^L \left(\left[\overset{\circ}{B}_1 \right] \psi^{(n)} + \left[\overset{\circ}{B}_2 \right] \psi_{,3}^{(n)} \right) + \right. \\ &\quad \left. + \frac{1}{12} \sum_{\alpha=1}^2 \left(\left[\overset{\circ}{B}_{1,\alpha} \right]^T \psi^{(l)} + \left[\overset{\circ}{B}_{2,\alpha} \right]^T \psi_{,3}^{(l)} \right) \left[\overset{\circ}{D}, \alpha \right] \times \right. \\ &\quad \left. \times \sum_{n=0}^L \left(\left[\overset{\circ}{B}_{1,\alpha} \right] \psi^{(n)} + \left[\overset{\circ}{B}_{2,\alpha} \right] \psi_{,3}^{(n)} \right) \right\} \sqrt{g} dx. \end{aligned} \quad (60)$$

Виконуючи чисельне інтегрування за напрямком x^3 з урахуванням неоднорідності, введемо позначення:

$$[D]_{00}^{ln} = \int_{x^3=-1}^{x^3=1} \psi_m^{(l)} \left[\overset{\circ}{D} \right] \psi_m^{(n)} dx^3 = \sum_{m=1}^M \psi_m^{(l)} \left[\overset{\circ}{D} \right] \psi_m^{(n)} H_m;$$

$$\begin{aligned}
[D]_{30}^{ln} &= \int_{x^3=-1}^{x^3=1} \psi_{,3m}^{(l)} \left[\overset{\circ}{D} \right] \psi_m^{(n)} dx^3 = \sum_{m=1}^M \psi_{,3m}^{(l)} \left[\overset{\circ}{D} \right] \psi_m^{(n)} H_m; \\
[D]_{03}^{ln} &= \int_{x^3=-1}^{x^3=1} \psi_m^{(l)} \left[\overset{\circ}{D} \right] \psi_{,3m}^{(n)} dx^3 = \sum_{m=1}^M \psi_m^{(l)} \left[\overset{\circ}{D} \right] \psi_{,3m}^{(n)} H_m; \\
[D]_{33}^{ln} &= \int_{x^3=-1}^{x^3=1} \psi_{,3m}^{(l)} \left[\overset{\circ}{D} \right] \psi_{,3m}^{(n)} dx^3 = \sum_{m=1}^M \psi_{,3m}^{(l)} \left[\overset{\circ}{D} \right] \psi_{,3m}^{(n)} H_m; \\
[D]_{00\alpha}^{ln} &= \int_{x^3=-1}^{x^3=1} \psi_m^{(l)} \left[\overset{\circ}{D}, \alpha \right] \psi_m^{(n)} dx^3 = \sum_{m=1}^M \psi_m^{(l)} \left[\overset{\circ}{D}, \alpha \right] \psi_m^{(n)} H_m; \\
[D]_{30\alpha}^{ln} &= \int_{x^3=-1}^{x^3=1} \psi_{,3m}^{(l)} \left[\overset{\circ}{D}, \alpha \right] \psi_m^{(n)} dx^3 = \sum_{m=1}^M \psi_{,3m}^{(l)} \left[\overset{\circ}{D}, \alpha \right] \psi_m^{(n)} H_m; \\
[D]_{03\alpha}^{ln} &= \int_{x^3=-1}^{x^3=1} \psi_m^{(l)} \left[\overset{\circ}{D}, \alpha \right] \psi_{,3m}^{(n)} dx^3 = \sum_{m=1}^M \psi_m^{(l)} \left[\overset{\circ}{D}, \alpha \right] \psi_{,3m}^{(n)} H_m; \\
[D]_{33\alpha}^{ln} &= \int_{x^3=-1}^{x^3=1} \psi_{,3m}^{(l)} \left[\overset{\circ}{D}, \alpha \right] \psi_{,3m}^{(n)} dx^3 = \sum_{m=1}^M \psi_{,3m}^{(l)} \left[\overset{\circ}{D}, \alpha \right] \psi_{,3m}^{(n)} H_m.
\end{aligned} \tag{61}$$

З урахуванням цих виразів для матриці жорсткості СЕ отримаємо:

$$\begin{aligned}
[K]_{ln} &= \left\{ [B_1]^T [D]_{00}^{ln} [B_1] + [B_2]^T [D]_{30}^{ln} [B_2] + [B_1]^T [D]_{03}^{ln} [B_2] + \right. \\
&+ [B_2]^T [D]_{33}^{ln} [B_2] + \frac{1}{12} \sum_{\alpha=1}^2 \left([B_{1,\alpha}]^T [D]_{00\alpha}^{ln} [B_{1,\alpha}] + \right. \\
&+ [B_{2,\alpha}]^T [D]_{30\alpha}^{ln} [B_{1,\alpha}] + [B_{1,\alpha}]^T [D]_{03\alpha}^{ln} [B_{2,\alpha}] + \\
&\left. \left. + [B_{2,\alpha}]^T [D]_{33\alpha}^{ln} [B_{2,\alpha}] \right) \right\} \sqrt{g}. \tag{62}
\end{aligned}$$

Виходячи з виразу (17) варіація роботи інерційних сил одного скінченного елемента описується співвідношенням:

$$\delta K^e = - \int \int \int_{x^1 x^2 x^3} \rho \ddot{u}_k^{k'} \delta u_{k'} \sqrt{g} dx^1 dx^2 dx^3. \quad (63)$$

У виразі (63), виконаємо перетворення $\dot{u}^{k'}$ за формулою:

$$\dot{u}^{k'} = g^{k'j'} \dot{u}_{j'}. \quad (64)$$

Тоді:

$$\delta K^e = - \int \int \int_{x^1 x^2 x^3} \delta_{(n)}^{(k')} \rho g^{k'j'} \dot{u}_{j'} \delta u_{k'} \sqrt{g} dx^1 dx^2 dx^3, \quad (65)$$

де $\delta_{(j')}^{(k')}$ – символ Кронекера.

Представляючи прискорення та переміщення через розкладання по поліномам (22), подамо вираз для варіації кінетичної енергії скінченного елемента у наступному вигляді:

$$\delta K^e = - \int \int \int_{x^1 x^2 x^3} \delta_{(n)}^{(k')} \rho g^{k'j'} \sum_{l=0}^L \dot{u}_{j'}^l \psi^l \sum_{m=0}^M \delta u_{k'}^m \psi^m \sqrt{g} dx^1 dx^2 dx^3.$$

Використовуючи припущення про осереднення маси біля вузла, який розглядається, і враховуючи, що кожна вузлова маса відповідає одній четвертій частині мас елементів примикаючих до даного вузла, перепишемо варіацію кінетичної енергії у векторній формі:

$$\delta K^e = - \sum_{l=0}^L \sum_{m=0}^M \delta \left\{ \left[u_{k'} \right]_{(S_1, S_2)}^l \right\}^T [m]_{lm} \left\{ \left[\dot{u}_{k'} \right]_{(S_1, S_2)}^m \right\}, \quad (66)$$

де $\left\{ \left[\dot{u}_{k'} \right]_l^T \right\} = \left\{ \left[\dot{u}_{k'(-1;-1)}^l \right] \quad \left[\dot{u}_{k'(1;-1)}^l \right] \quad \left[\dot{u}_{k'(-1;1)}^l \right] \quad \left[\dot{u}_{k'(1;1)}^l \right] \right\}$.

В наведеному співвідношенні (66) $[m]_{lm}$ – амплітудна “неузгоджена” матриця мас неоднорідного елемента, компоненти якої обчислюються за формулою:

$$[m]_{lm} = \left[\left[m^{k'} \right]_{(S_1, S_2)(S_1, S_2)}^{lm} \right] = \frac{1}{4} \sqrt{g} \rho_{lm} \left[\left[g^{k'(k')} \right]_{(S_1, S_2)} \right], \quad (67)$$

де

$$\left[\left[g^{k'j'} \right]_{(P_1, P_2)} \right] = \text{diag} \left[\left[g^{k'j'} \right]_{(-1,-1)} \quad \left[g^{k'j'} \right]_{(1,-1)} \quad \left[g^{k'j'} \right]_{(-1,1)} \quad \left[g^{k'j'} \right]_{(1,1)} \right],$$

$$[g^{kj}]_{(P_1, P_2)} = \text{diag}[g^{1'1'} \quad g^{2'2'} \quad g^{3'3'}].$$

$$\rho_{lm} = \int_{x^3=-1}^{x^3=1} \rho \psi^l \psi^m dx^3 = \sum_{k=1}^K (\rho \psi^l \psi^m)_k H_k.$$

Тут: ρ_k - щільність матеріалу, обчислена в центрі поперечного перерізу, що відповідає k -ій точці інтегрування.

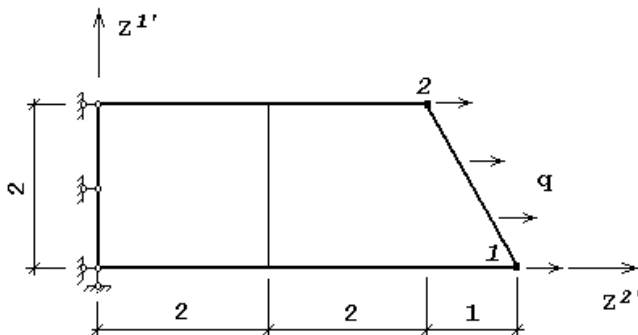


Рис. 3. Розрахункова схема двовимірного пружного стержня

Дослідження впливу компонент розкладу деформацій в ряд Маклорена, що виникають за рахунок диференціювання фізичних компонент тензора деформацій, на збіжність моментної схеми методу скінченних елементів, розглянемо на прикладі двовимірного пружного стержня під дією вісьового розтягуючого тиску, інтенсивністю $q = 2/\sqrt{5}$ (рис.3). Модуль пружності та коефіцієнт Пуассона дорівнюють відповідно $E = 2.2 \times 10^4$, $\nu = 0$.

Проведено розв'язання ряду задач із зміною сіткових параметрів моделі при урахуванні диференціювання метрики (запропонований підхід) та без нього [1]. В табл.1.1 представлені значення переміщень в контрольних точках 1, 2, в залежності від числа СЕ по товщині стержня.

Рис.4 відображає ці результати у вигляді кривих похибки визначення переміщень, лінії a, b – [1], c, d – запропонована методика. Криві b, c відповідають точці 1, a, d – точці 2. Збільшення кількості СЕ по довжині моделі не призводило до значного уточнення результатів.

Таким чином, запропонований підхід для скінченних елементів з енергією деформації на базі фізичних компонент тензорів напружень і деформацій та усередненими значеннями фізико-механічних і

геометричних параметрів в області поперечного перетину СЕ забезпечують високу швидкість збіжності результатів до точного і значне скорочення об'ємів обчислень, що пов'язані з чисельним інтегруванням.

Таблиця 1

Кіл-сть СЕ	[1], $\times 10^{-4}$		Запропонований підхід, $\times 10^{-4}$	
	1	2	1	2
1	1.81818	2.27273	2.25851	1.82897
2	2.13705	1.94979	2.26864	1.84322
3	2.20367	1.89888	2.27037	1.84638
4	2.23140	1.87944	2.27116	1.84805
5	2.24536	1.87000	-“-	-“-
6	2.25331	1.86473	-“-	-“-
7	2.25824	1.86149	-“-	-“-
8	2.26150	1.85936	-“-	-“-

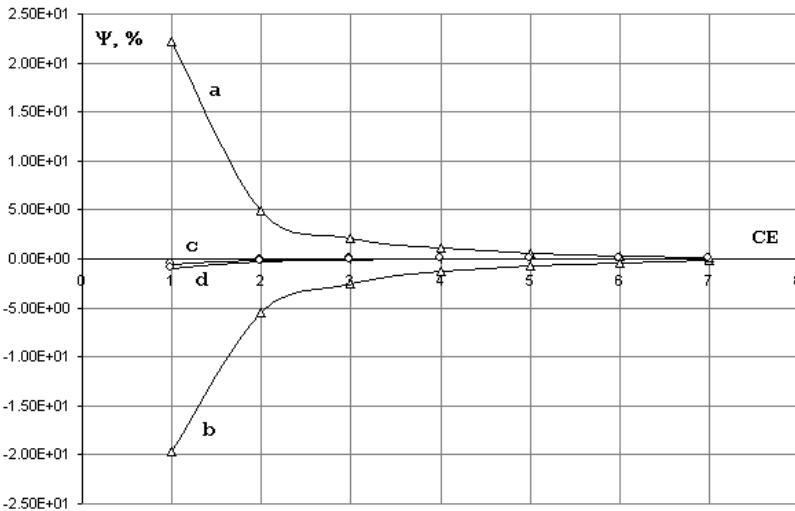


Рис. 4. Результати розрахунку

Розрахункові співвідношення НМСЕ отримані в рамках просторових задач динаміки, що дозволяють розглядати неоднорідні незамкнені тіла обертання із складною формою і структурою поперечного перетину, з довільними граничними умовами на торцях. При виведенні рівнянь не

накладались обмеження на характер розподілення масових і механічних властивостей матеріалів вздовж направляючої.

1. *Баженов В.А., Гуляр А.И., Сахаров А.С., Топор А.Г.* Полуаналитический метод конечных элементов в механике деформируемых тел. - Киев: Випол, 1993, 376 с.
2. *Блох В.И.* Теория упругости Харьков: Изд-во Харьк. ун-та. - 1964. -483с.
3. *Гуляр А.И., Козак А.Л., Сахаров А.С., Чорный С.М.* “Применение МСКЭ к расчету круглых пластин и оболочек вращения” // Сопrotивление материалов и теория сооружений. -1978. -Вып.33. -С.81-85.
4. *Гуляр А.И., Сахаров А.С., Чорный С.М.* “Сходимость моментной схемы метода конечных элементов в задачах упругого и пластического осесимметричного деформирования” // Сопrotивление материалов и теория сооружений. - 1978, №32 – с.3-10.
5. *Друккер Д.* Вариационные принципы в математическом теории пластичности // Механика.- М.: ИП, 1959.- № 6.
6. *Кислокий В.Н., Сахаров А.С., Соловей Н.А.* “Моментная схема метода конечных элементов в геометрически нелинейных задачах прочности и устойчивости оболочек” // Проблемы прочности. -1977. -№7. -С.25-33.
7. *Сахаров А.С., Кислокий В.Н., Киричевский В.В. и др.* Метод конечных элементов в механике твердых тел. - Киев: Вища школа, 1982.- 479с.
8. *Сахаров А.С.* “Моментная схема конечных элементов МСКЭ с учетом жестких смещений” // Сопrotивление материалов и теория сооружений. -1974. -Вып.24. -С.147-156.
9. *Сніжко Н.А., Солодей І.І., Овсянніков О.С., Шевченко Ю.В.* Вимушені коливання баштової градирні АЕС під дією вітрового навантаження. //Опір матеріалів і теорія споруд: Наук.-тех. збірн. - К.: КНУБА, 2004 р. - Вип. 74. - С. 92-103.

Надійшла до редколегії 20.11.2005 р.